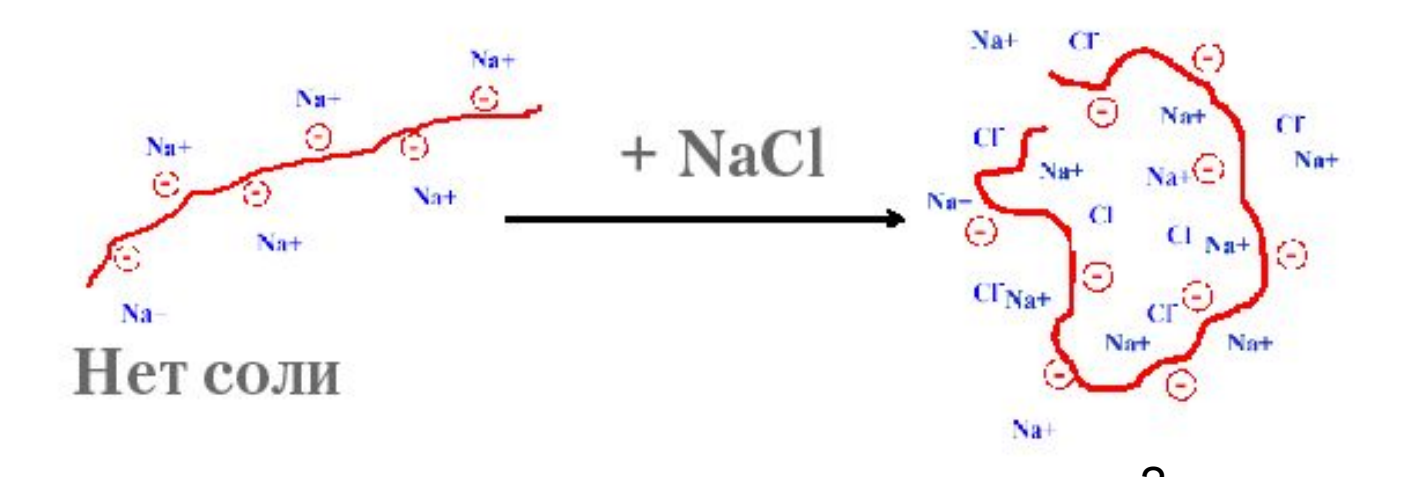
ЛЕКЦИЯ 12.

СИНТЕЗ НАНОСЛОЕВ ГИБРИДНЫХ ОРГАНИЧЕСКИХ И НЕОРГАНИЧЕСКИХ СОЕДИНЕНИЙ МЕТОДАМИ ИОННОГО И ИОННО-КОЛЛОИДНОГО НАСЛАИВАНИЯ С ИСПОЛЬЗОВАНИЕМ РАСТВОРОВ ПОЛИЭЛЕКТРОЛИТОВ

ПОЛИЭЛЕКТРОЛИТЫ - ЭТО ОРГАНИЧЕСКИЕ ПОЛИМЕРЫ С МОЛ. ВЕСОМ ~ 10000 - 500000, ИМЕЮЩИЕ ФУНКЦИОНАЛЬНЫЕ ГРУППЫ, НЕСУЩИЕ ЗАРЯД. БЛАГОДАРЯ ЭТОМУ ДАННЫЕ ВЕЩЕСТВА РАСТВОРИМЫ В ВОДЕ



В данной лекции будет рассмотрен

синтез слоев, состоящих из:

- КАТИОНОВ И АНИОНОВ П/Э,
- ИОНОВ П/Э И ОРГ. ВЕЩЕСТВ,
- ИОНОВ НЕОРГ. ВЕЩЕСТВ И П/Э,
- КОЛЛОИДНЫХ ЧАСТИЦ И П/Э,
- НАНОТРУБОК И П/Э.

ПРИМЕРЫ СТРОЕНИЯ МОЛЕКУЛ ПОЛИЭЛЕКТРОЛИТОВ

PAH

poly(allylamine hydrochloride)

PMAA

poly(methacrylic acid)

Poly(4-vinylpyridine)

Poly(4-vinylphenol)

Poly(sodium 4-styrenesulfonate)

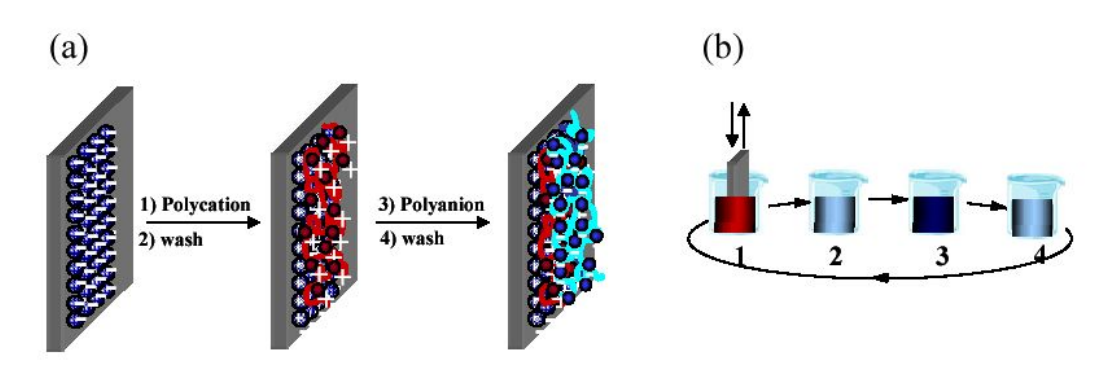
Poly(diallyldimethylammonium chloride) (PDADMAC)

Poly(acrylic acid) (PAA)

$$\left(\begin{array}{c} CH_2CH_2NH_2 \\ N \\ N \end{array} \right)$$

Poly(ethyleneimine) (PEI)

H.Decher (1991 г.) показал, что при попеременной и последовательной обработке подложки по методике ИН растворами полиэлектролитов в катионной и анионной формах с промежуточным удалением избытка реагентов промывкой растворителем и просушкой образца на воздухе на поверхности образуется слой органического вещества.

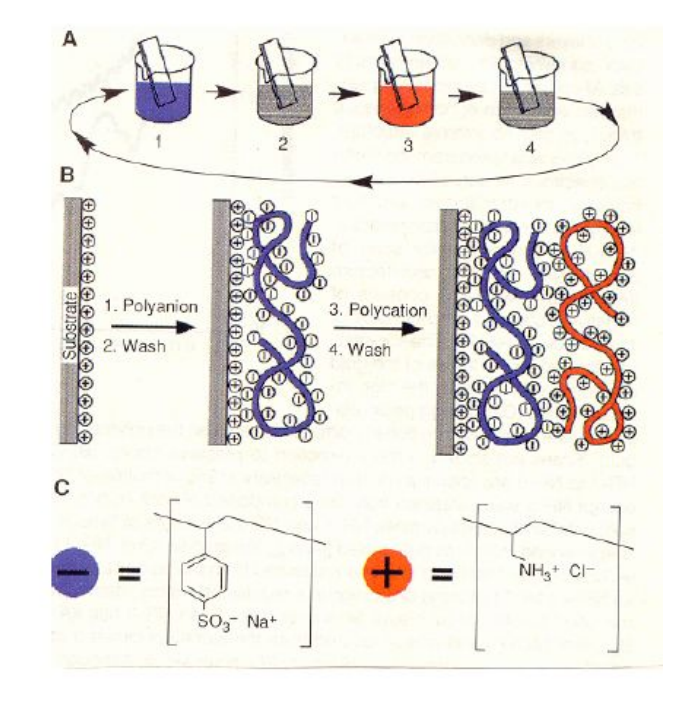


$$Pol^{-}M^{+}_{(m)} + Pol^{+}A^{-}_{(aq)} \rightleftharpoons Pol^{-}Pol^{+}_{(m)} + M^{+}_{(aq)} + A^{-}_{(aq)}$$

Pol⁻Pol⁺ является труднорастворимым веществом

$$Pol^{-}Pol^{+}_{(m)} + M^{+}_{(aq)} + A^{-}_{(aq)} = Pol^{-}M^{+}_{(m)} + Pol^{+}A^{-}_{(m)}$$

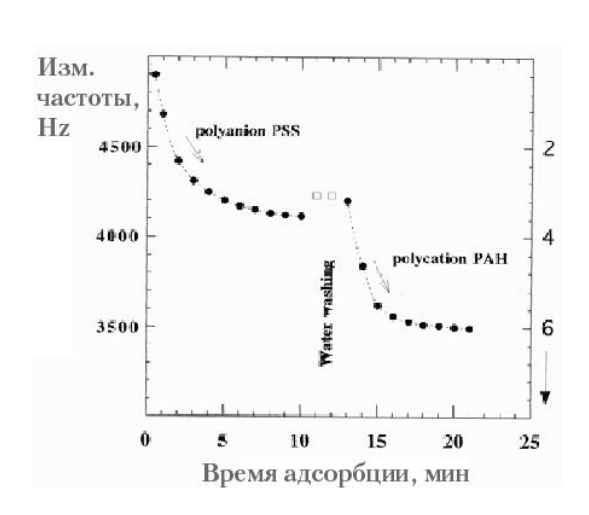
$$K_{2} = \frac{[Pol^{-}M^{+}_{(m)}][Pol^{+}A^{-}_{(m)}]}{[Pol^{-}Pol^{+}_{(m)}][M^{+}_{(aq)}][A^{-}_{(aq)}]}$$



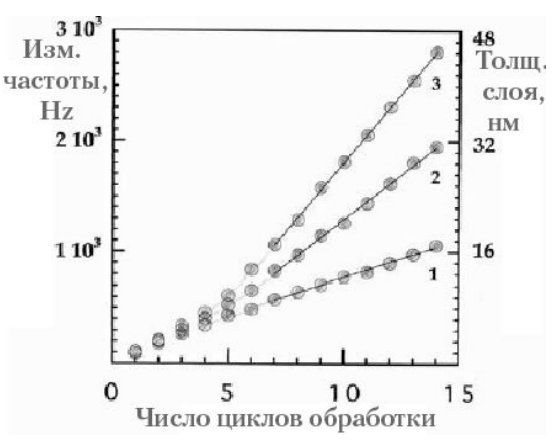
ПОСЛЕДОВАТЕЛЬНОСТЬ ОБРАБОТОК ПОДЛОЖКИ ПРИ СИНТЕЗЕ СЛОЯ П/Э

- 1-2. Обработка подложки, имеющей в растворе положительный заряд в анионсодержащем растворе п/э и ее промывка растворителем,
- 3-4. Обработка в катион- содержащем растворе п/э и ее промывка растворителем.

Изменение частоты кварцевого резонатора, используемого в качестве подложки в процессе синтеза слоя п/э



Влияние времени обработки



Влияние ионной силы раствора на кинетику адсорбции п/э I- слой PDDA-PSS получен в чистой воде, pH=6,5, 2- 0,5M растворе NaCl и PDDA, 3 - 0,5M растворе NaCl PDDA и PSS

- При синтезе нанослоев с участием молекул п/э образование слоя может происходить в результате адсорбции с участием:
- электростатических взаимодействий между противоположно заряженными ионами,
- водородных связей,
- донорно-акцепторных связей,
- ковалентных связей.

СИНТЕЗ СЛОЕВ С УЧАСТИЕМ ВОДОРОДНЫХ СВЯЗЕЙ

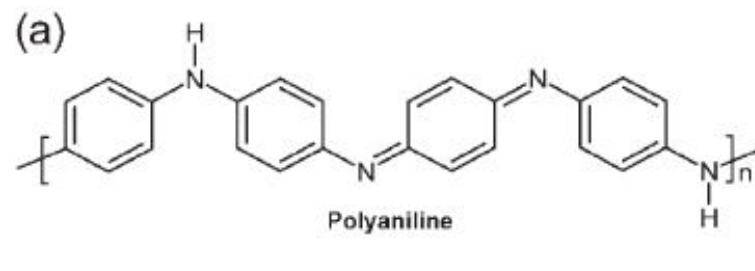
МЕЖДУ МОЛЕКУЛАМИ П/Э

Оптим. рН Акцептор Донор 3.6 PAA **PEO** 4.6 **PMAA PEO** 6.9 HO **PMAA PVPON**

PEO – polyethylene oxide

PVPON - polyvinilpyrrolidone

John F. Quinn, Angus P. R. Johnston.



Poly(vinyl pyrrolidone) Poly(ethylene oxide) Polyacrylamide

Poly(vinyl alcohol) Poly(4-vinyl pyridine) Poly(4-vinyl phenol)

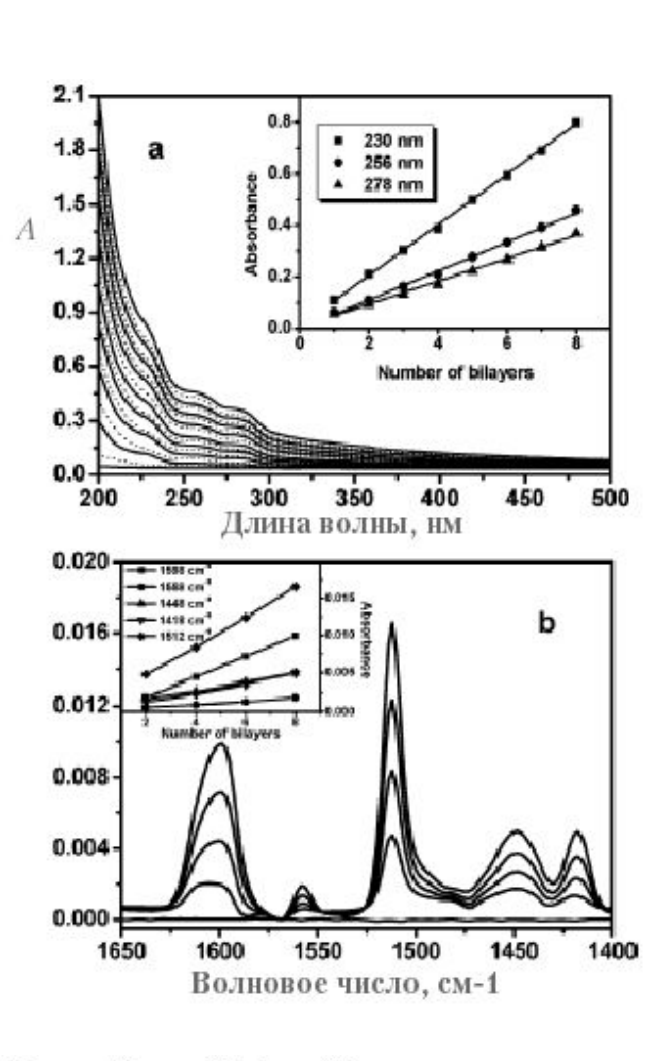
Poly(styrene-alt-maleic acid) Poly(methacrylic acid) Poly(acrylic acid)

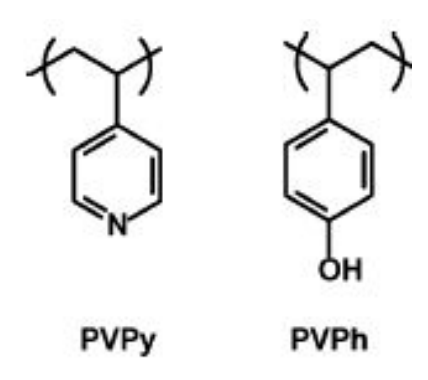
O

PAA – polyacrylic acid

PMAA – polymethacrylic acid

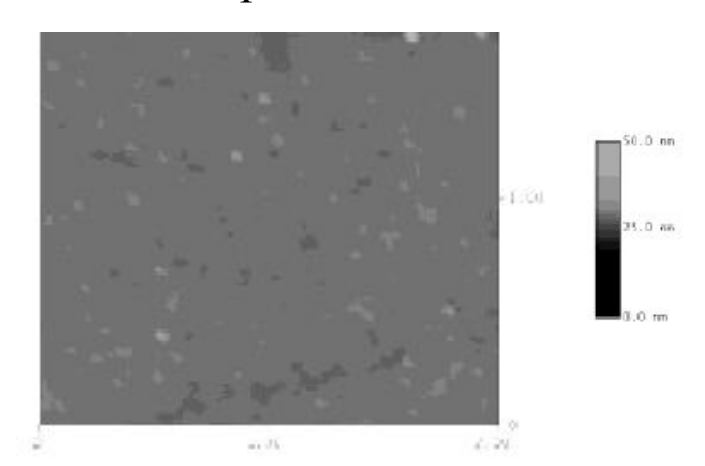
ПРИМЕР СИНТЕЗА СЛОЯ, СОСТОЯЩЕГО ИЗ Poly(4-vinylpyridine) и Poly(4-vinylphenola)





Данный слой образован за счет возникновения водородных связей между молекулами п/э

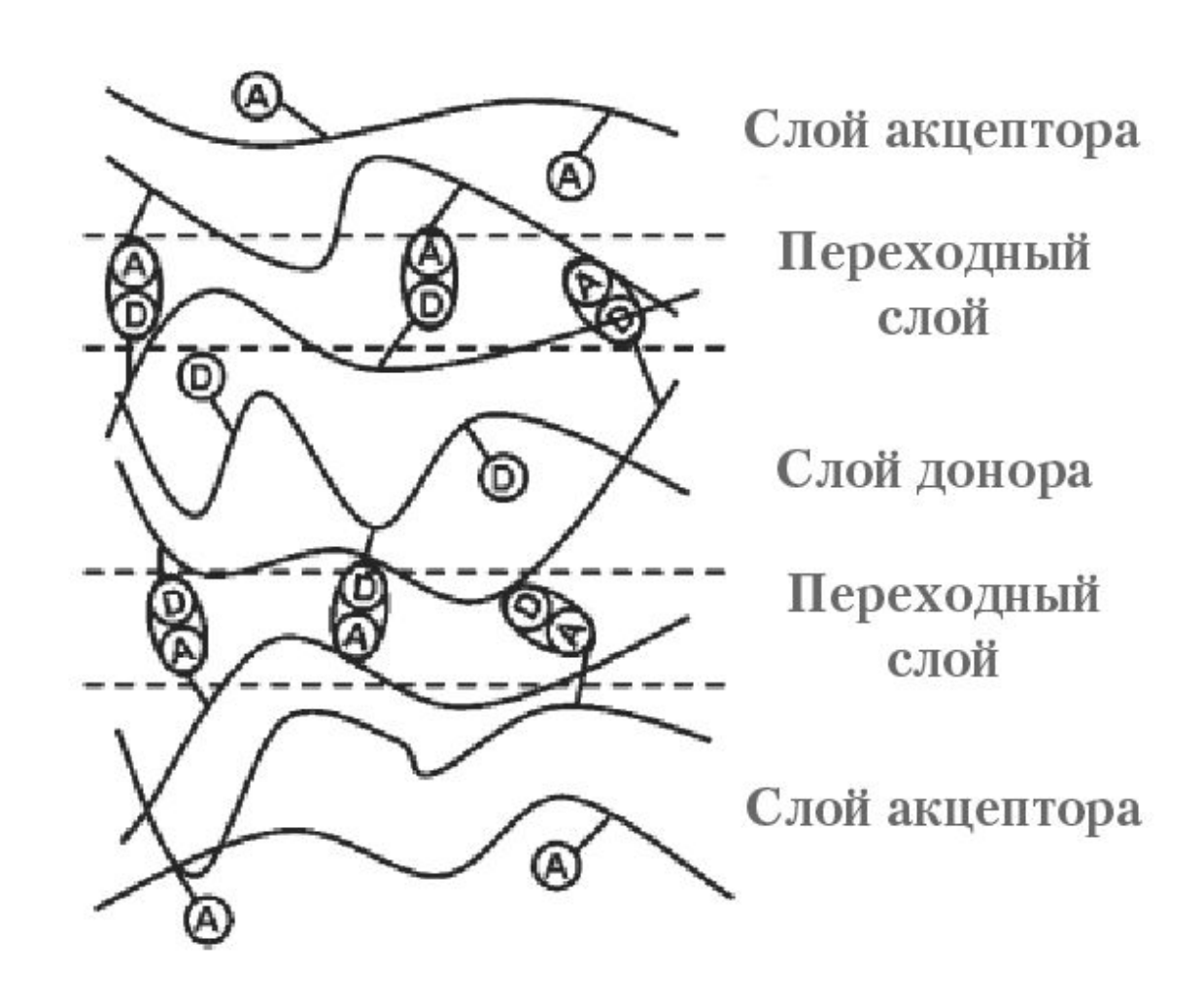
АСМ изображение слоя



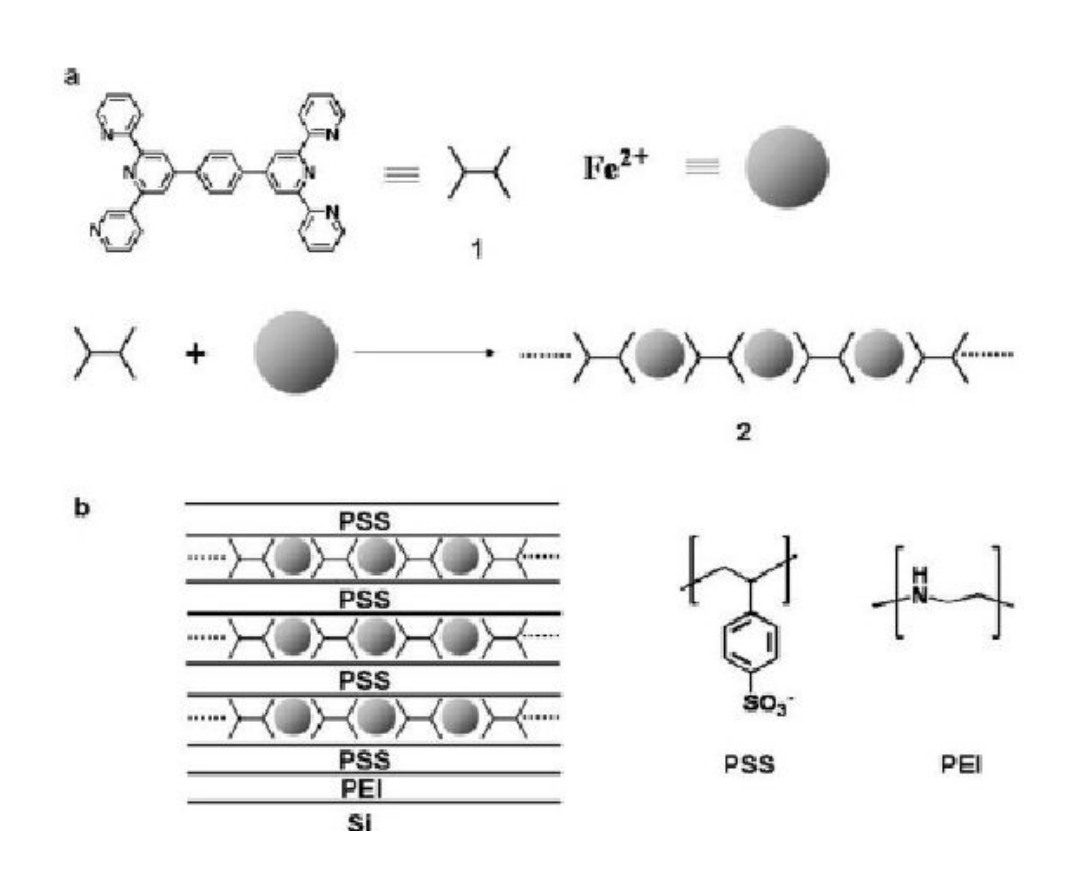
Hongyu Zhang, Zhiqiang Wang Langmuir 2004, 20, 9366-9370

СИНТЕЗ С УЧАСТИЕМ ДОНОРНО-АКЦЕПТОРНЫХ СВЯЗЕЙ С ПЕРЕНОСОМ ЗАРЯДА

Схема образования слоя



СИНТЕЗ МУЛЬТИСЛОЯ ЗА СЧЕТ КООРДИНАЦИИ КАТИОНОВ МОЛЕКУЛАМИ ОРГАНИЧЕСКИХ ВЕЩЕСТВ И ПОЛИЭЛЕКТРОЛИТАМИ

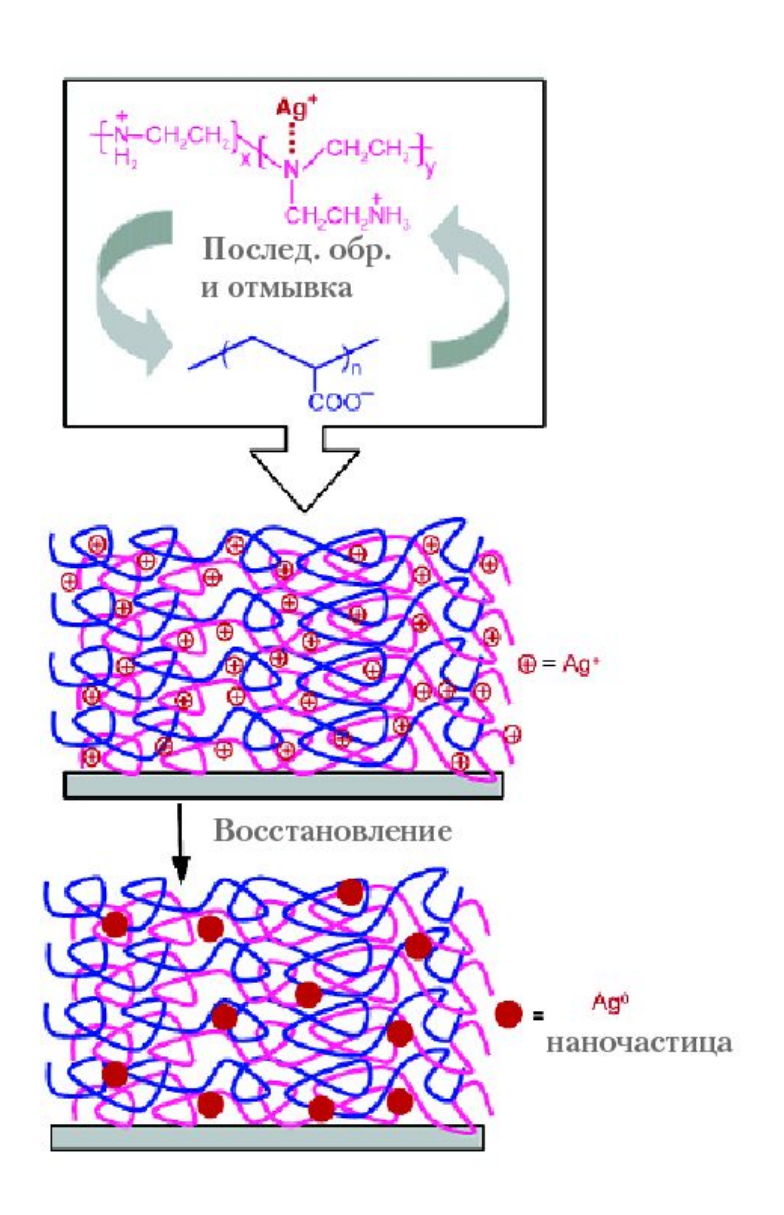


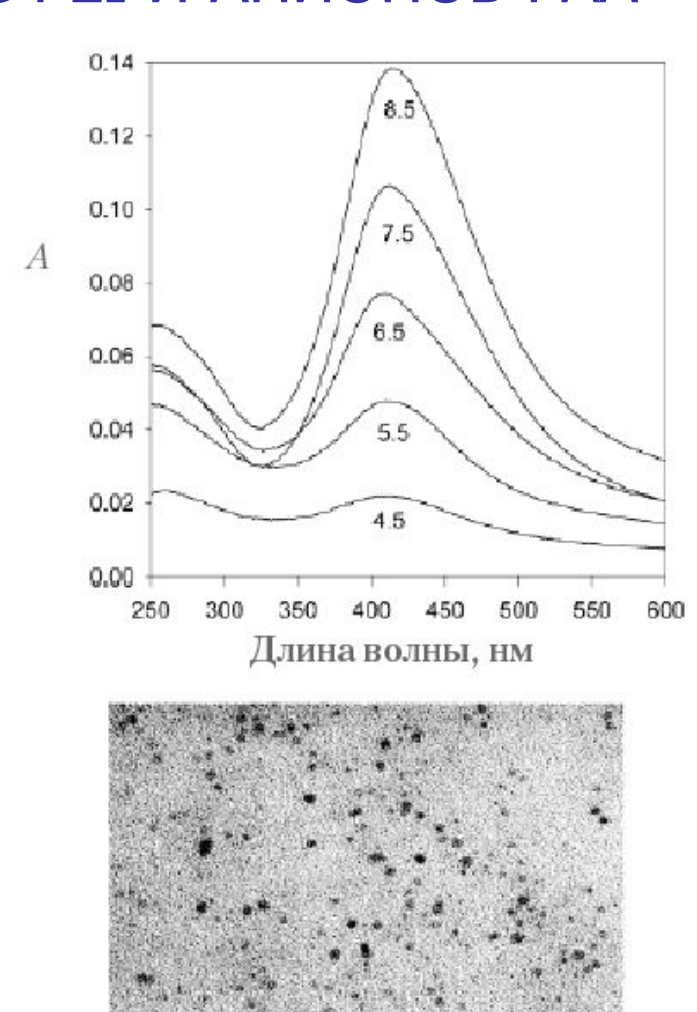
Послойный синтез с участием молекул п/э открывает новые возможности создания своеобразных "гибридных" веществ, содержащих как органические, так и неорганические вещества, в том числе катионы и коллоидные частицы.

Схема строения синтезированного слоя

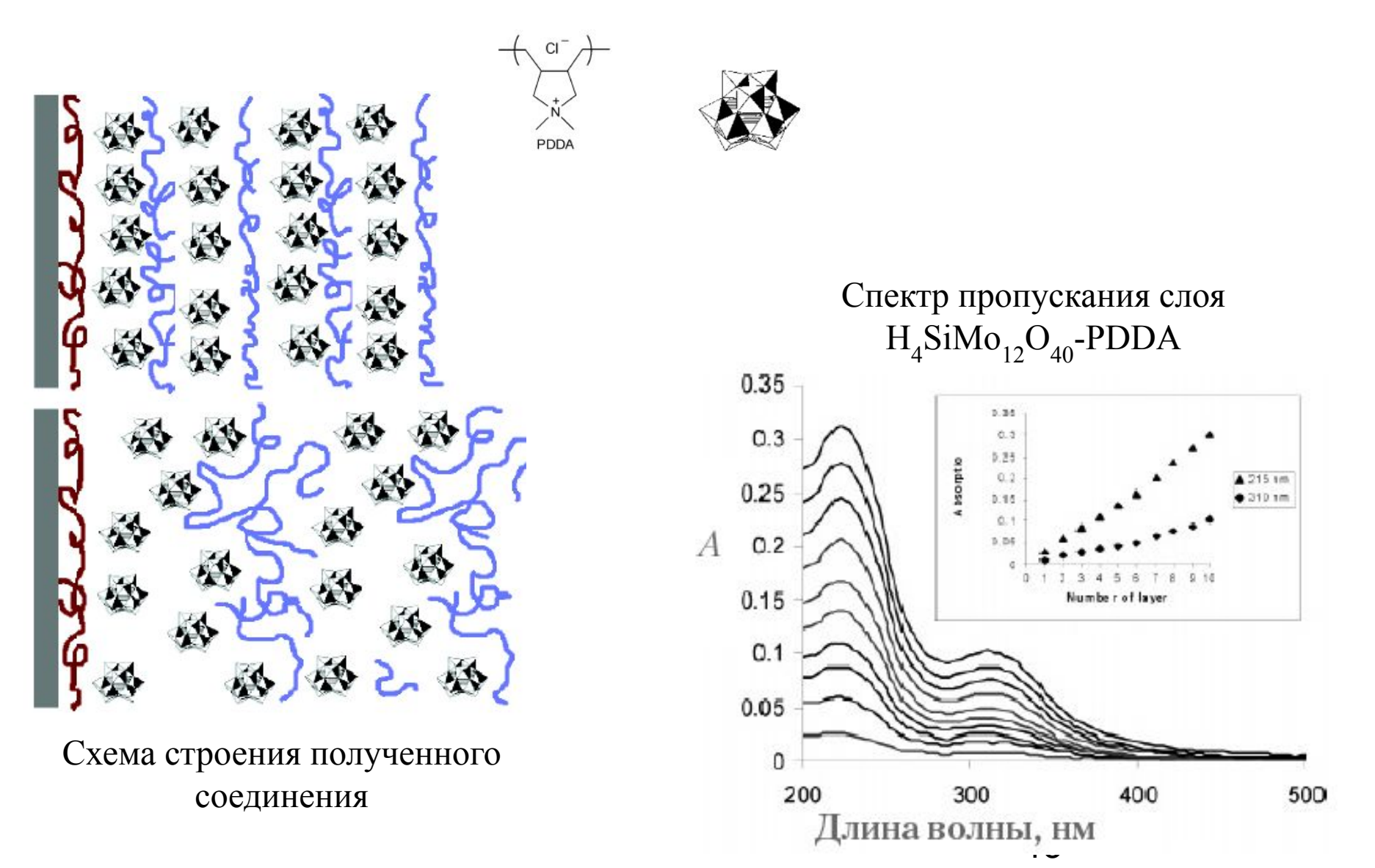
Xi Zhang,* Huan Chen and Hongyu Zhang Chem. Commun., 2007, 1395–1405

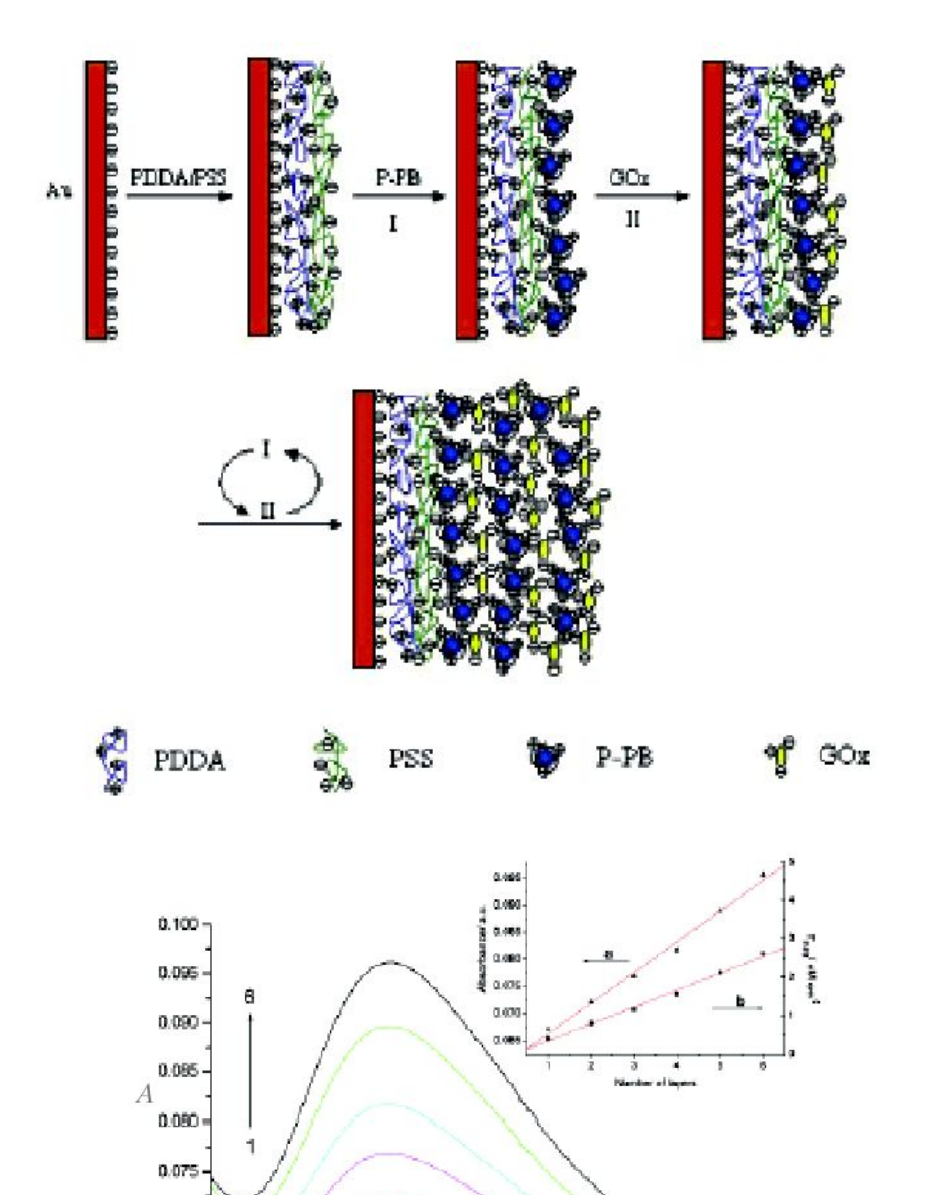
СИНТЕЗ СЛОЕВ ПУТЕМ ПОСЛЕДОВАТЕЛЬНОЙ АДСОРБЦИИ КАТИОНОВ СЕРЕБРА В СМЕСИ С РЕІ И АНИОНОВ РАА





СИНТЕЗ СЛОЕВ ПУТЕМ ПОСЛЕДОВАТЕЛЬНОЙ АДСОРБЦИИ КАТИОНОВ П/Э И АНИОНОВ ГЕТЕРОПОЛИКИСЛОТЫ

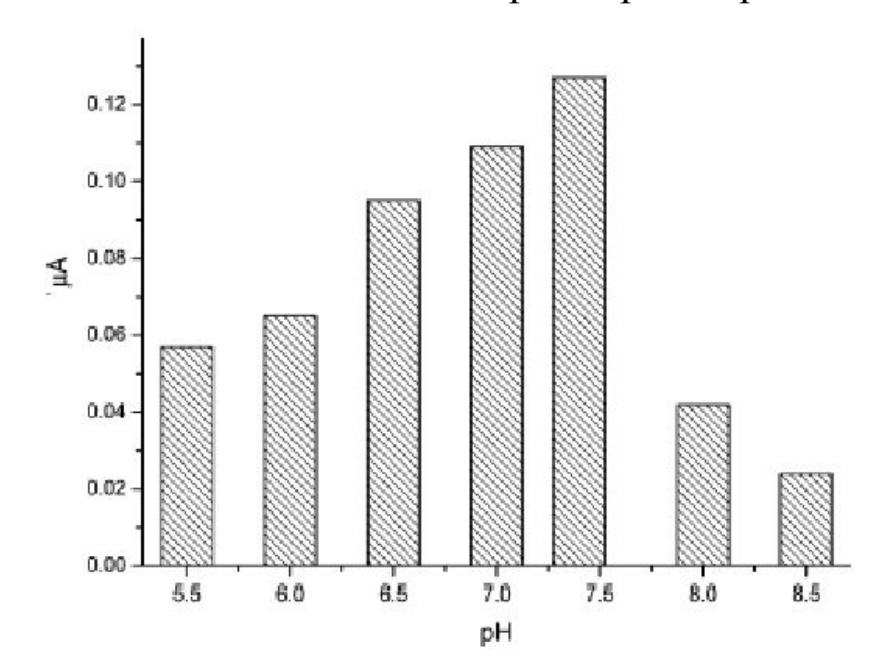




Мультислой PDDA/PSS-PB-GOx как сенсор на глюкозу

$${\rm PB-Fe_7(CN)}_{18}{\rm (H_2O)}_{\rm x}\quad {\rm x=14-16},$$
 Gox - глюкоза оксидаза

Изменение чувствительности биосенсора к 1,0 mM раствору глюкозы в зависимости от рН ее раствора



0.070 -

0.055

1000

1100

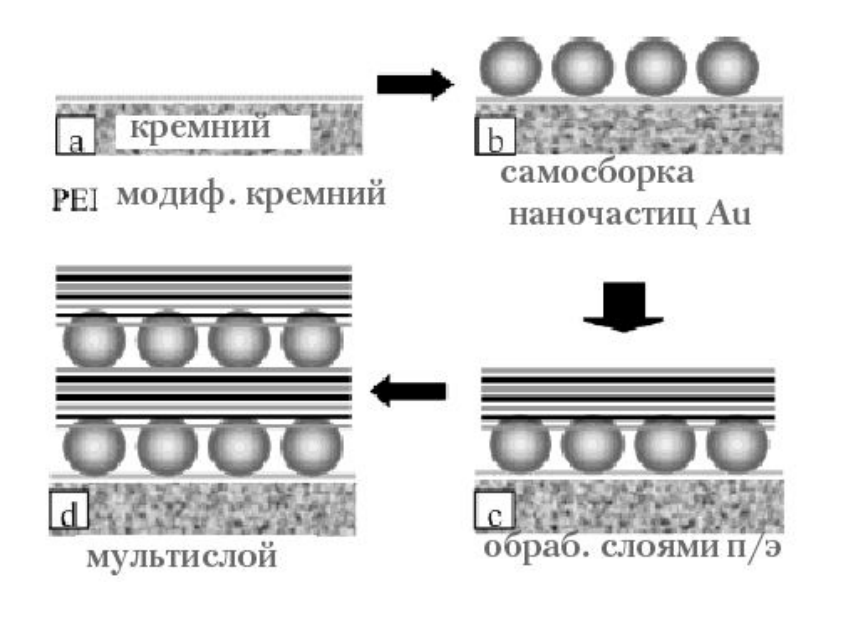
700

Длина волны, нм

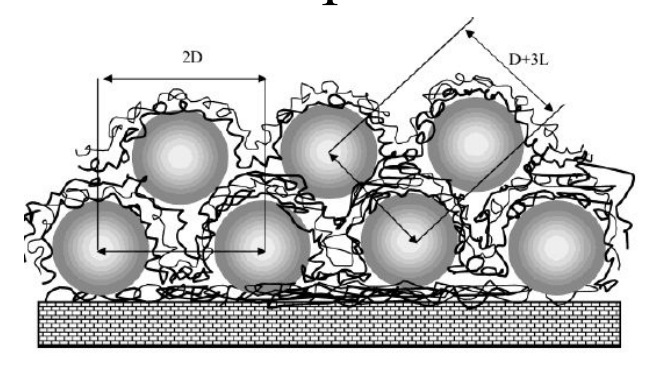
ПРИМЕРЫ СИНТЕЗА СЛОЕВ, СОСТОЯЩИХ ИЗ П/Э И ПРОТЕИНОВ

Ŋ	Иолек. вес	Изол. точка	рН	Заряд	Противо- ион	Масса монослоя	Толщина слоя, нм
1) Cytochrome c	12400	10.1	4.5	+	PSS-	3.6	2.4 + 1.6
2) Lysozyme	14000	11	4.0	+	PSS-	3.5	2.3 ± 1.9
3) Histone f3	15300	11	7.0	+	PSS-	3.3	2.2 + 2.0
4) Myoglobin	17800	7.0	4.5	+	DNA, PSS	6	4.0 + 2.0
5) Bacteriorhodopsin	26000	6.0	9.4	-	PDDA ⁺	7.5	5.0 + 1. 0
6) Carbonic Anhydrase	29000	5.5	8.3	-	PEI+	2.8	bilayer 2.2
7) Pepsin	35000	1.0	6.0	-	PDDA ⁺	4.5	3.0 + 0.6
8) Peroxidase	42000	8.0	4.2	+	PSS-	5.3	bilayer 3.5
9) Hemoglobin	64000	6.8	4.6	+	PSS-	26	17.5 + 3.0
10) Albumin	68000	4.9	8.0		PDDA ⁺	23	16.0 + 1.0
11) Glucoamylase	95000	4.2	6.8	2	PDDA, PEI+	4	2.6 + 0.5
12) Photosynthetic RC	100000	5.5	8.0	2	PDDA ⁺	13	9.0 + 1.0
13) Concanavalin	104000	5.0	7.0	-	PEI ⁺	8.6	5.7 ± 0.8
14) Alkaline Phosphatas	e 140000	5.7	7.0	-	PEI+	9	
15) Alcohol Dehydrogenase 141000 5.4			8.5	-	PDDA ⁺	12.2	8.5 ± 1.0
16) Immunoglobulin, Ig	G 150000	6.8	7.5	<u> 12</u>	PSS-	15	bilayer 10
17) Glucose oxidase	186000	4.1	6.8	0	PDDA ⁺	12	bilayer 8.0
			6.5	-	PEI+	51	34 - 0.8
18) Catalase	240000	5.5	9.2	*	PEI+	9.6	6.4 ± 0.8
19) Urease	489000	5.0	7.0	-	PEI+	23	bilayer 16
20) Diaphorase	600000	5.0	8.0	2	PEI ⁺	31	bilayer 21

Схема синтеза слоя Au - PAH/PSS

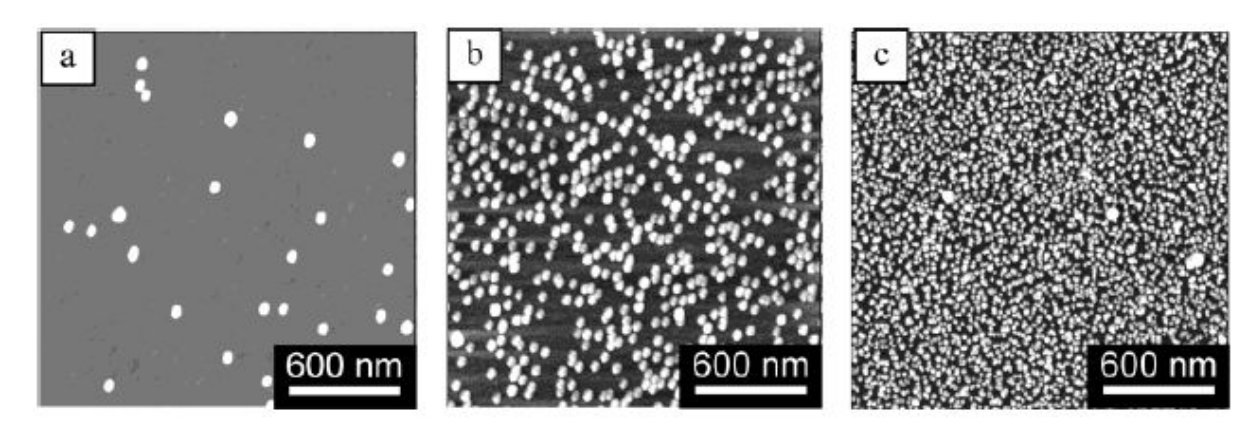


Модель строения слоя



$$d_{Au} = 13 \text{ HM}$$

АСМ изображения слоев, синтезированных из коллоидных растворов Au различной концентрации, a) 1,5·10⁻¹⁰, b) 1,5·10⁻⁹, c) 1,5·10⁻⁸ M.



Синтез слоя палладиевого катализатора на поверхности носителя Al_2O_3

ТЭМ изображение

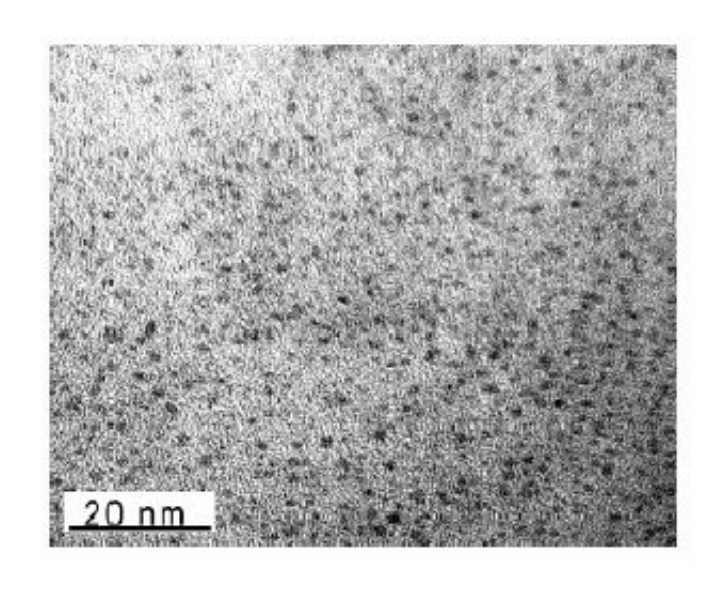
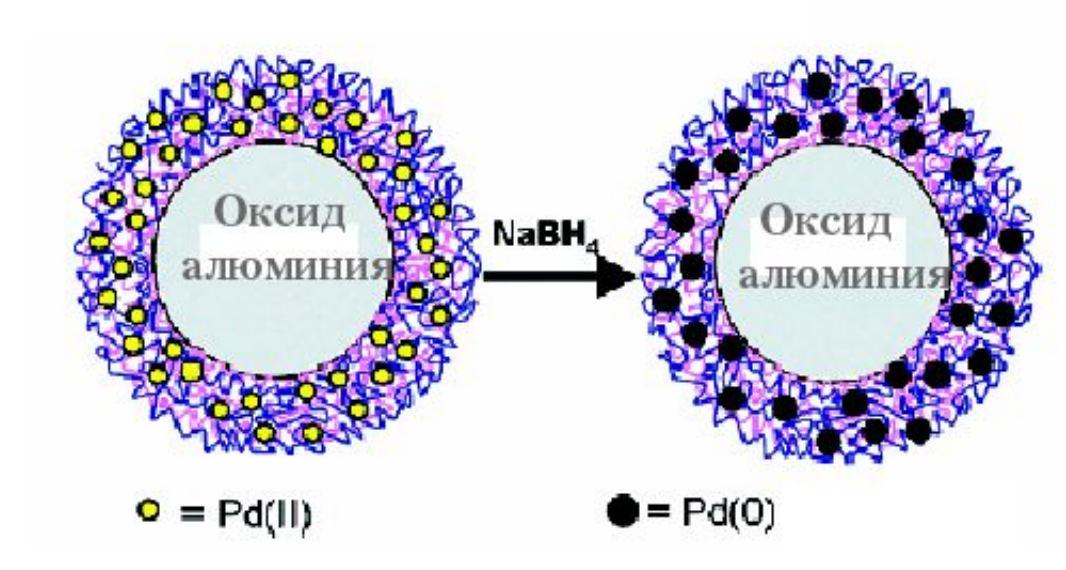
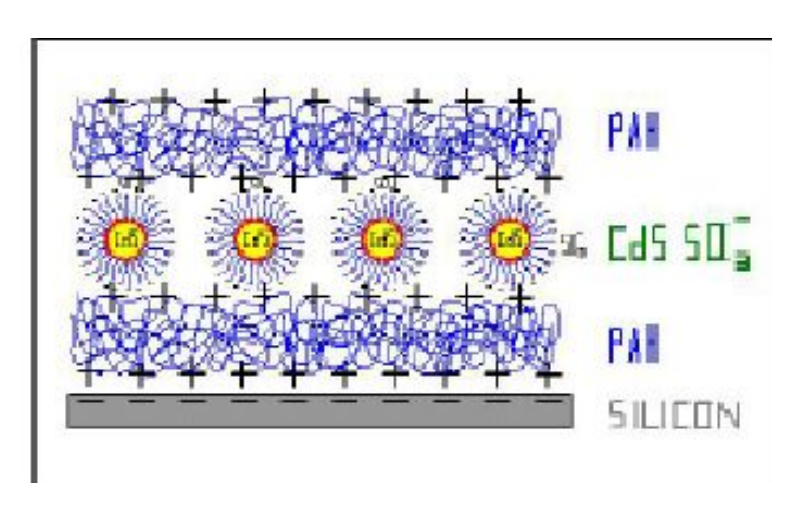


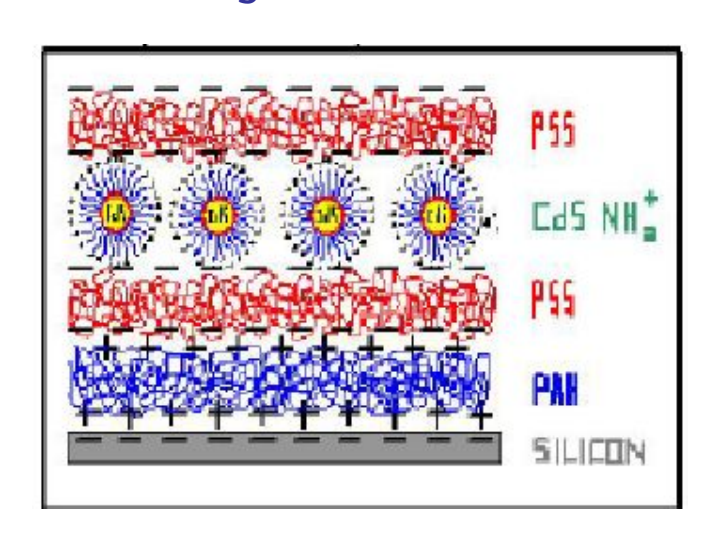
Схема строения слоя наночастиц **Pd** на поверхности носителя оксида алюминия

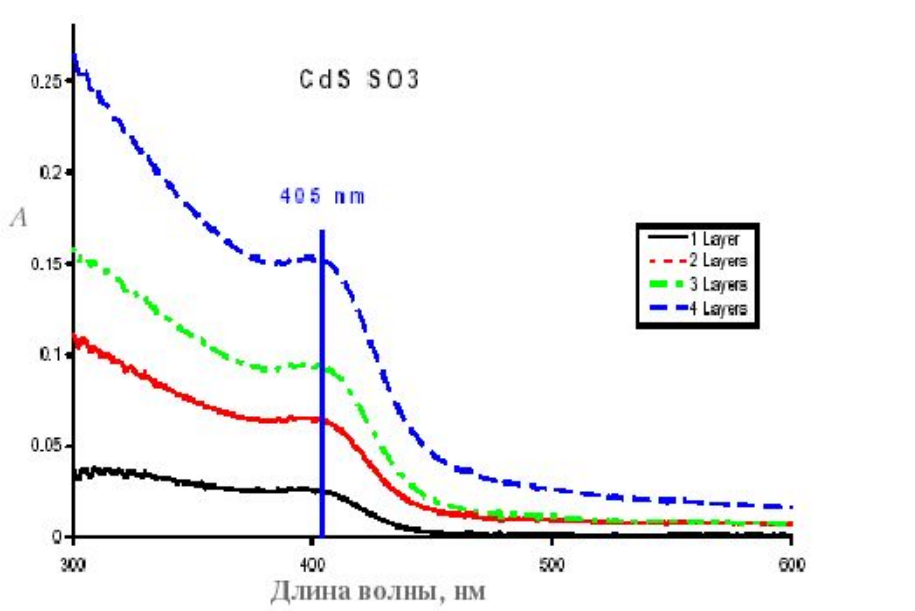


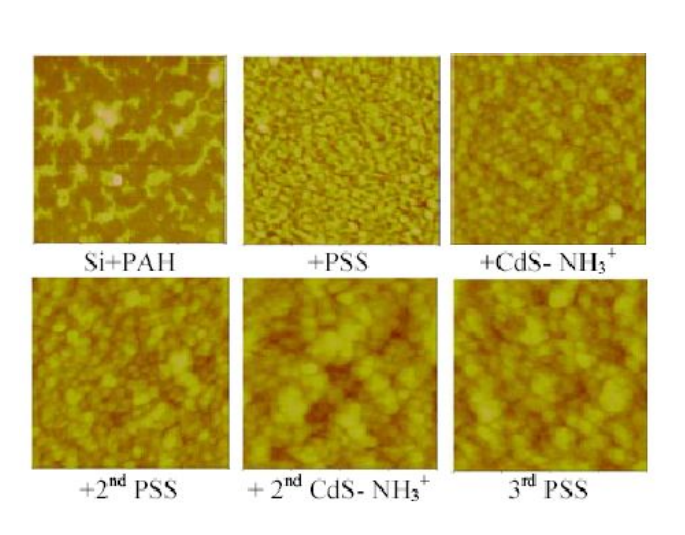
П/Э - PAA-PEI, слой получен после 7 циклов наслаивания

СИНТЕЗ СЛОЕВ ПУТЕМ ПОСЛЕДОВАТЕЛЬНОЙ АДСОРБЦИИ КАТИОНОВ РАН И КОЛЛОИДНЫХ ЧАСТИЦ $CdS-SO_3^-$, АНИОНОВ PSS И КАТИОНОВ $CdS-NH_3^+$









АСМ изображ**†В**ия синтезированных слоев

Survajaya (1), A. Nabok

ИЗМЕНЕНИЕ СМАЧИВАЕМОСТИ ПОВЕРХНОСТИ ПОДЛОЖЕК ПРИ СИНТЕЗЕ СЛОЕВ CdS-П/Э

Как установлено, угол смачиваемости поверхности подложки с синтезированным слоем зависит от состава соединений, которые были синтезированы на последней стадии каждого цикла обработки.

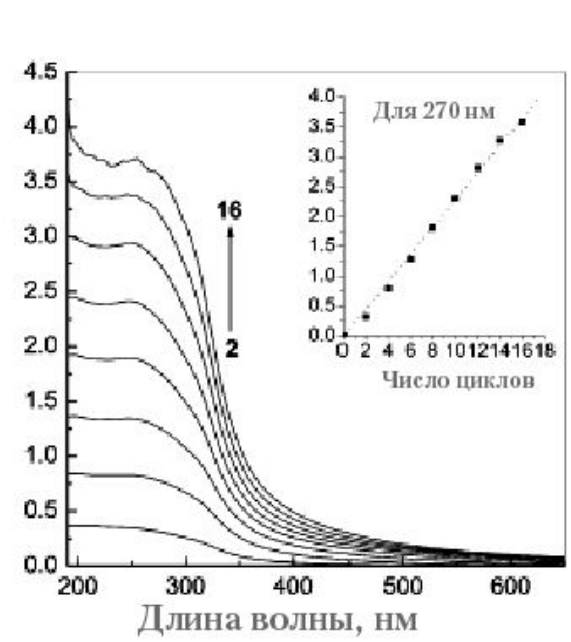
АСМ изображение поверхности полученных слоев (CdS-NH4+/PSS)20 (PAH/CdS-COO-)20 Схема строения коллоидных частиц CdS 30 nm CdS coo-Анионный CdS Катионный CdS (CdS-NH₃⁺/PMAA) film, pH of PMAA = 9.5 (PAH/CdS-COOT) (CdS-NH₃⁺/PMAA) film, pH of PMAA = 3.1 Конт. Конт. (CdS-NH,* / PSS), (PAH/PMAA) film, pH of PMAA = 3.1 угол угол 30 CdS-NH, 25 25 20 20 CdS-COO 15 15 10 10 PAH 12 16 Langmuir 2004, 20, 401 Число циклов обработки 16

Jinhan Cho and Kookheon Char

Число циклов обработки

Исходный колл. раствор ТіО, TiO₂ pI ~ 4.5-6.8 pH > pI $pH \le pI$ катион. ТіО2 анион. ТіО2 раствор поликатиона раствор полианиона гель гель Послойный синтез Послойный синтез Высуш. Высуш. TiO2 - поликатион слой электрод ТіО2 TiO2 - полианион слой АСМ изображение слоя PSS/TiO, Jin-An He,† Ravi Mosurkal, Langmuir 2003, 19, 2169-2174

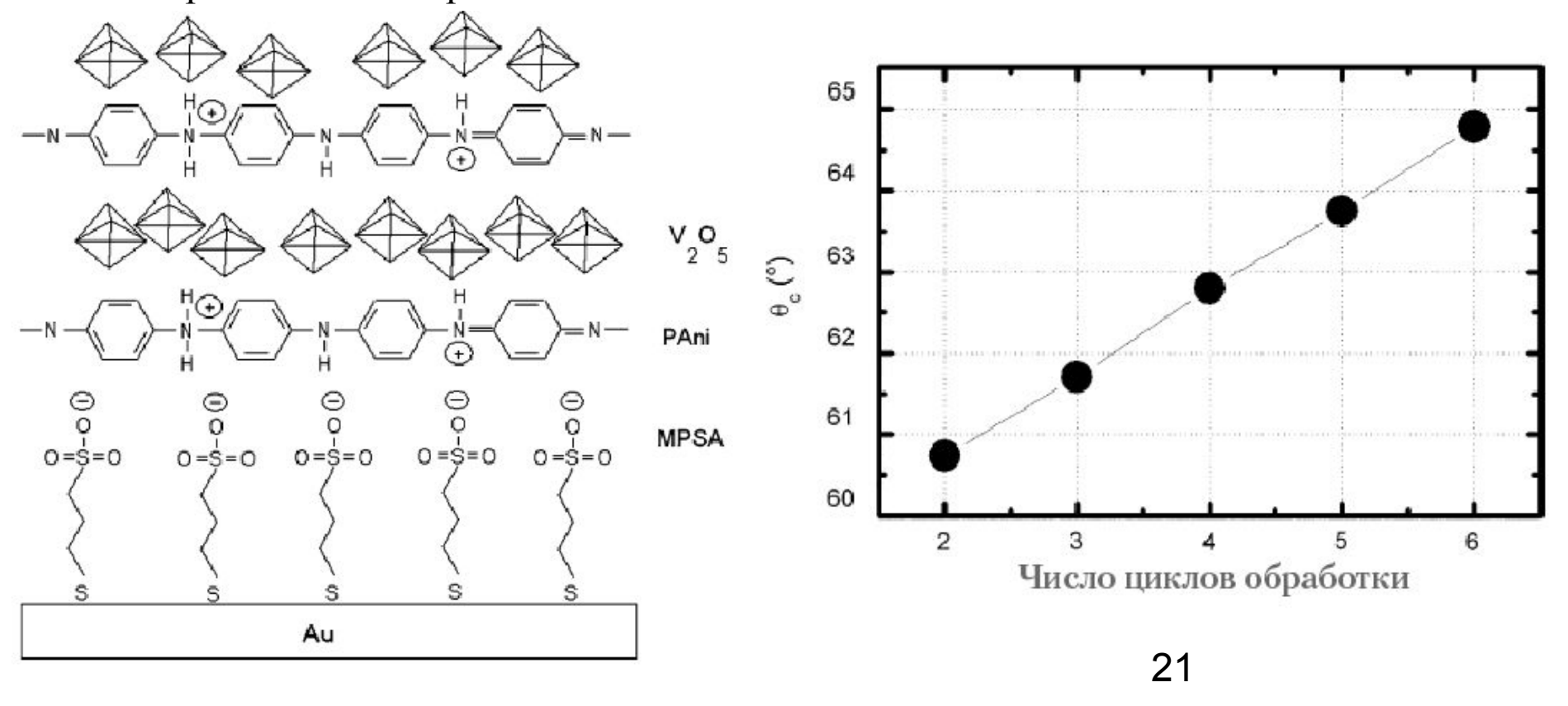
Два маршрута синтеза слоев, содержащих наночастицы TiO_2



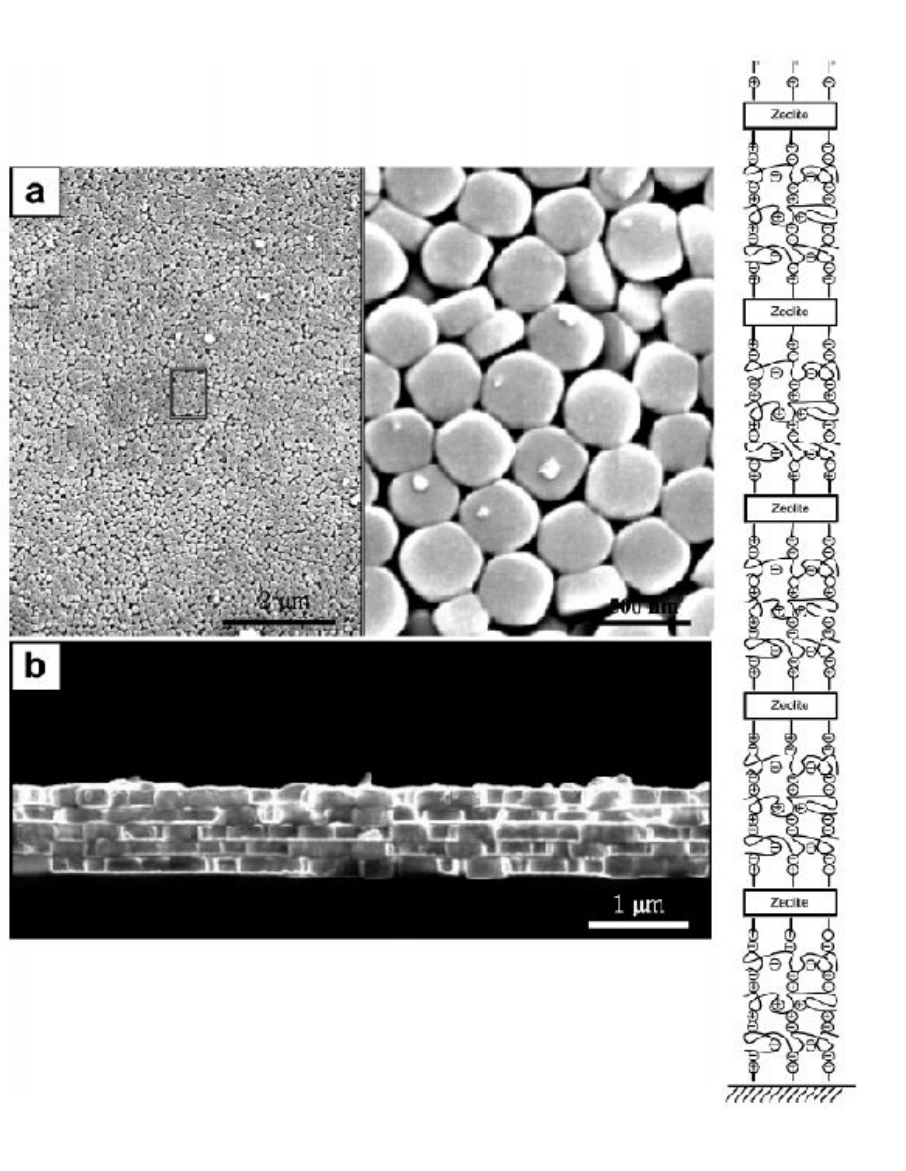
СИНТЕЗ СЛОЯ, СОСТОЯЩЕГО ИЗ ПОЛИАНИЛИНА И КОЛЛОИДНЫХ ЧАСТИЦ ОКСИДА ВАНАДИЯ (V)

Молекулы полианилина из-за взаимодействия с протонами имеют положительный заряд, а коллоидные частицы V_2O_5 - отрицательный

Схема строения синтезированного слоя



СИНТЕЗ СЛОЯ, СОСТОЯЩЕГО ИЗ PSS/PDDA И МОНОКРИСТАЛЛОВ ЦЕОЛИТА

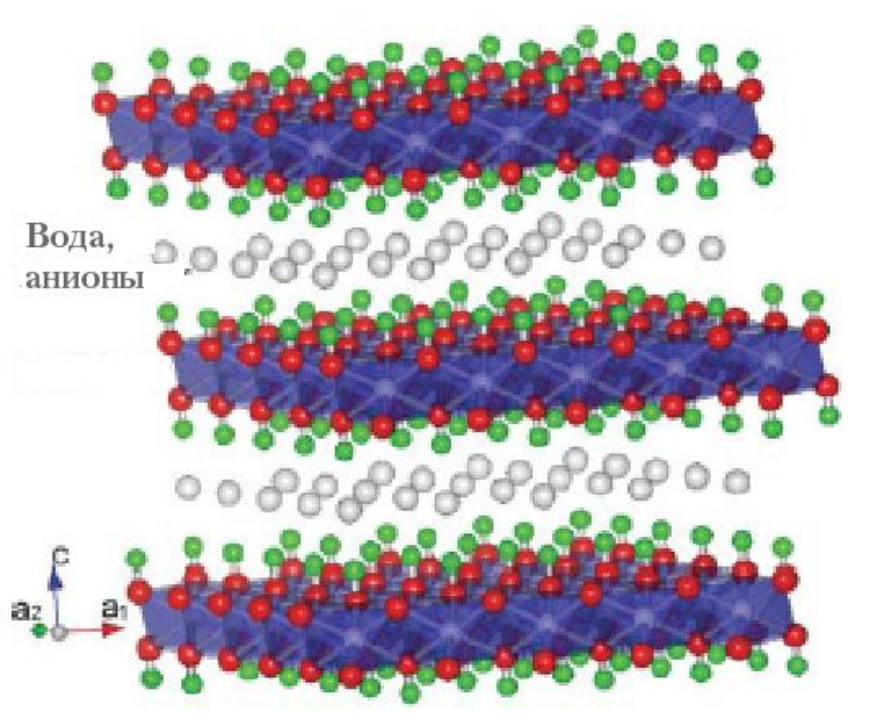


Как следует из изображения, полученного методом СЭМ, после каждого цикла обработки на поверхности образуется слой, состоящий из макромолекул п/э и планарных кристаллов цеолита

ПРИГОТОВЛЕНИЕ КОЛЛОИДНЫХ РАСТВОРОВ, СОСТОЯЩИХ ИЗ НАНОПЛОСКОСТЕЙ СЛОИСТЫХ ДВОЙНЫХ ГИДРОКСИДОВ (СДГ)

Одним из наиболее эффективных способов приготовления коллоидных растворов СДГ является длительная, в течение нескольких суток, обработка суспензии СДГ в растворе формамида. При такой обработке молекулы формамида внедряются между плоскостями СДГ и кристалл "расщепляется" на отдельные наноплоскости.

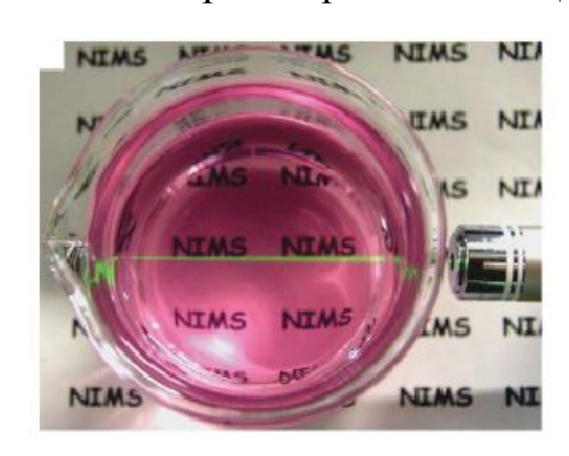




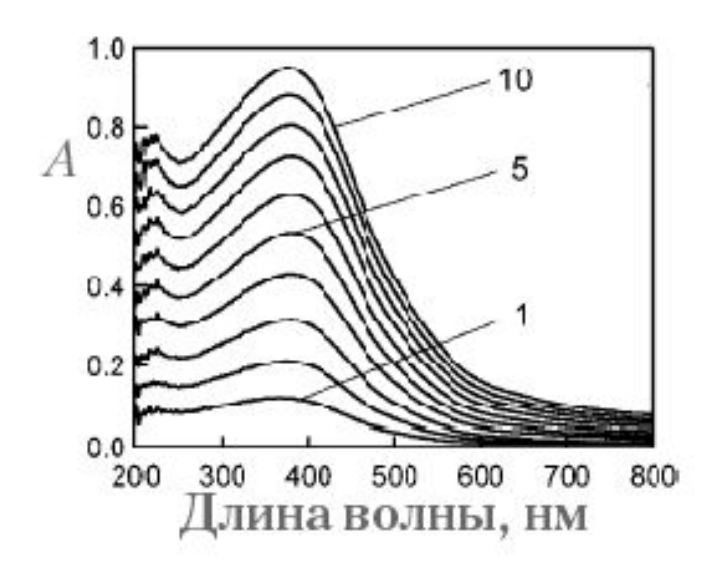
Swollen phase loidal suspension

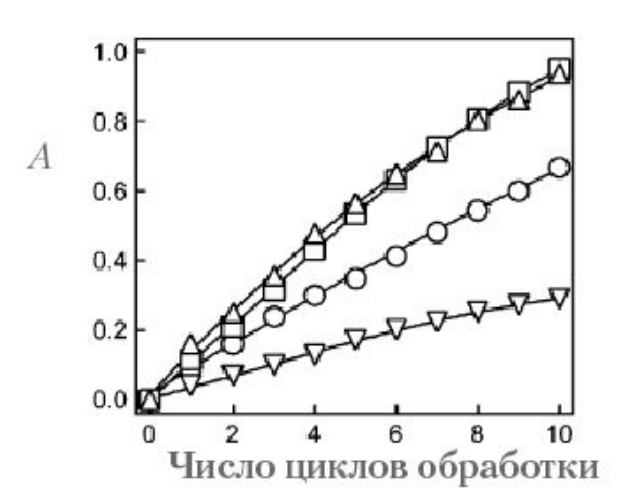
Кристалл

Фотография химического стакана с коллоидным раствором Co-Al- СДГ



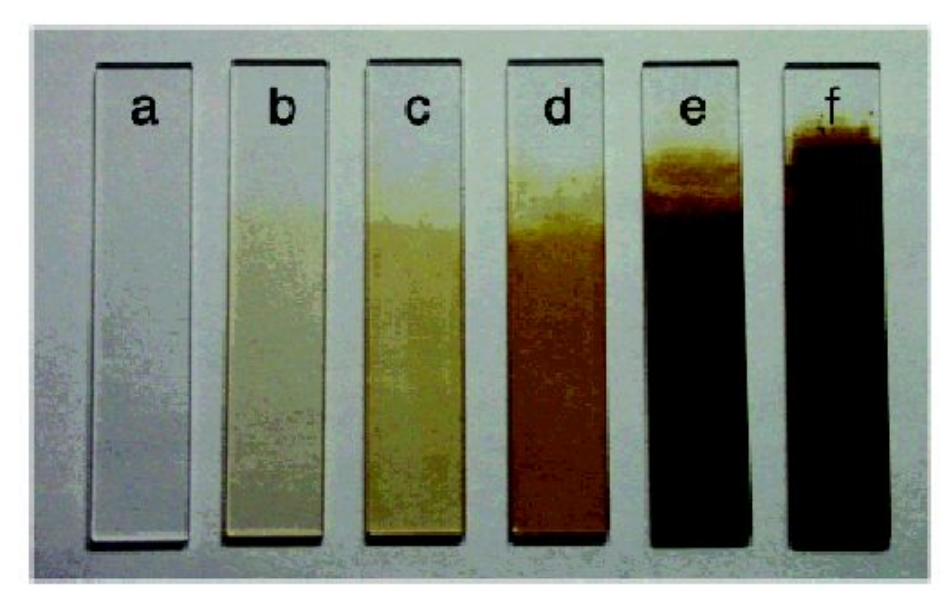
СИНТЕЗ СЛОЯ, СОСТОЯЩЕГО ИЗ НАНОПЛОСКОСТЕЙ $H_{0.13} MnO_2 \cdot 0,7 H_2 O$ и PDDA





Изменение оптической плотности при длине волны света в 380 нм в спектрах пропускания слоев.

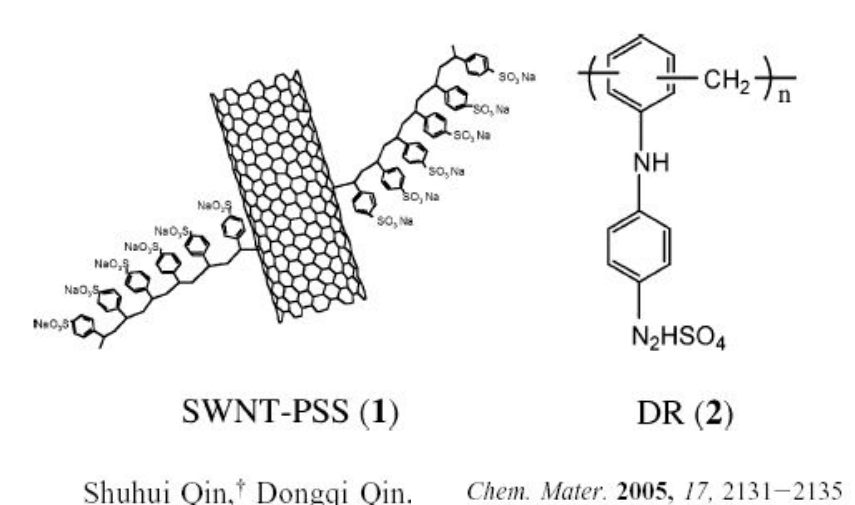
Фотография исходной (a) и обработанной растворами $H_{0.13} MnO_2 \cdot 0,7H_2O$ и PDDA подложки из стекла. b-f- число циклов обработки соответственно 1, 2, 5, 10 и 30.



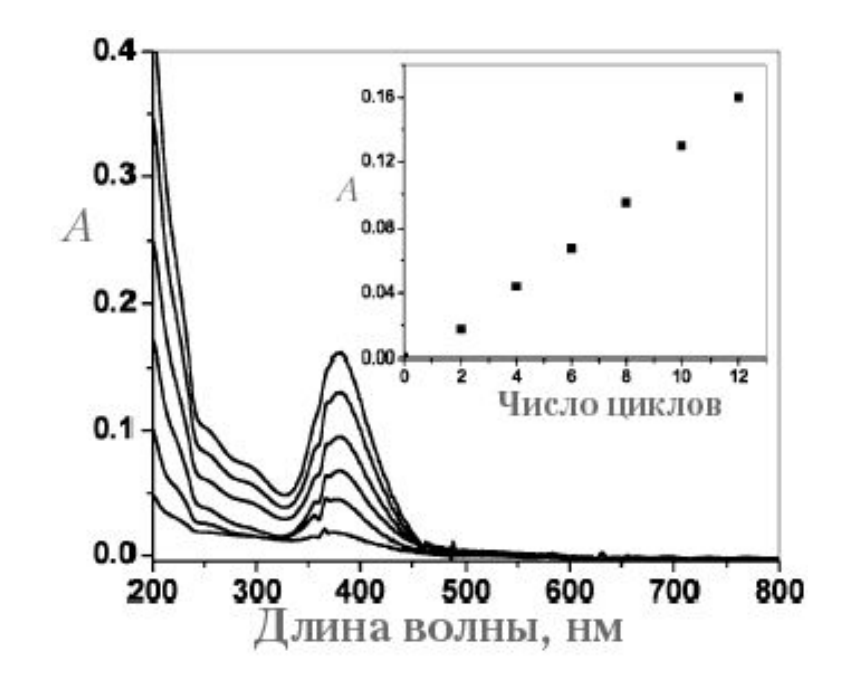
Chem. Mater. 2003, 15, 2873–2878
Lianzhou Wang, † Yoshitomo Omomo,

СИНТЕЗ СЛОЕВ, СОСТОЯЩИХ ИЗ П/Э И УГЛЕРОДНЫХ НАНОТРУБОК

Слой, состоящий из одностенной углеродной нанотрубки-PSS и DR

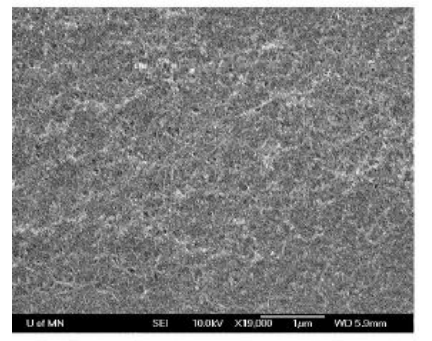


Спектры пропускания слоев. На вставке показано изменение оптич. плотности от числа циклов для длины волны света 380 нм.





Слой, состоящий из одностенной углеродной нанотрубки и PDDA



ПРИВЕДЕННЫЙ ЭКСПЕРИМЕНТАЛЬНЫЙ МАТЕРИАЛ, ТАКИМ ОБРАЗОМ, ПОКАЗЫВАЕТ ЭФФЕКТИВНОСТЬ ПРИМЕНЕНИЯ РАСТВОРОВ ПОЛИЭЛЕКТРОЛИТОВ ДЛЯ СИНТЕЗА ШИРОКОГО КРУГА ТОНКОСЛОЙНЫХ СТРУКТУР КОМПОЗИТНЫХ НАНОМАТЕРИАЛОВ, СОСТОЯЩИХ КАК ИЗ ОРГАНИЧЕСКИХ, ТАК И ГИБРИДНЫХ ОРГАНИЧЕСКИХ И НЕОРГАНИЧЕСКИХ ВЕЩЕСТВ.